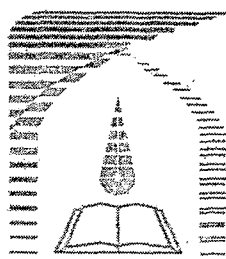


١١٢٦٧



١١٢٦٨



دانشگاه تربیت مدرس

دانشکده فنی مهندسی

بررسی رفتار خوردگی فولاد کم آلیاژی در محیط‌های حاوی دی اکسید کربن و  
در حضور اسیداستیک

پایان‌نامه برای دریافت درجه کارشناسی ارشد

در رشته مهندسی مواد گرایش خوردگی و حفاظت مواد

رضاء کیارسی

۱۳۸۸/۶/۱۶

استاد راهنمای:

دکتر تقی شهرابی فراهانی

از تحقیق اطلاعات دارک جهانگرد  
تمام شد

اردیبهشت ماه ۱۳۸۸

۱۱۶۴۶۸

بسم الله تعالى



## تاییدیه اعضای هیات داوران حاضر در جلسه دفاع از پایان نامه

آقای رضا کیارسی پایان نامه ۶ واحدی خود را با عنوان بررسی رفتار خوردگی فولاد  
کم آلیاژی در محیط های حاوی CO<sub>2</sub> و در حضور اسید استیک در تاریخ  
۱۳۸۸/۲/۱۶ ارائه کردند.

اعضای هیات داوران نسخه نهایی این پایان نامه را از نظر فرم و محتوا تایید کرده و  
پذیرش آنرا برای تکمیل درجه کارشناسی ارشد مهندسی مواد - خوردگی پیشنهاد می  
کنند.

اعضا	رتبه علمی	نام و نام خانوادگی	عضو هیات داوران
	دانشیار	دکتر تقی شهرابی فراهانی	استاد راهنما
	استادیار	دکتر جابر نشاطی	استاد مشاور
	دانشیار	دکتر علیرضا صبور روح	استاد ناظر
	استادیار	دکتر کوروش جعفرزاده	اقدام
	دانشیار	دکتر علیرضا صبور روح	مدیر گروه
			(یا نماینده گروه تخصصی)

این نسخه به عنوان نسخه نهایی پایان نامه / رساله مورد تایید است.

اعضا اسناد و اعتماد:

۱۳۸۸/۲/۱۶



## آیین نامه چاپ پایان نامه های دانشجویان دانشگاه تربیت مدرس

نظر به اینکه چاپ و انتشار پایان نامه های تحصیلی دانشجویان دانشگاه تربیت مدرس، میین بخشی از فعالیتهای علمی - پژوهشی دانشگاه است، بنابراین به منظور آگاهی و رعایت حقوق دانشگاه، دانشآموختگان این دانشگاه نسبت به رعایت موارد ذیل معهد می شوند:

ماده ۱: در صورت اقدام به چاپ پایان نامه خود، مراتب را قبل از طور کتبی به "دفتر نشر آثار علمی" دانشگاه اطلاع دهد.

ماده ۲: در صفحه سوم کتاب (پس از برگ شناسنامه) عبارت ذیل را چاپ کند:  
کتاب حاضر، حاصل پایان نامه کارشناسی ارشد نگارنده رضا کیارسی در رشته مهندسی مواد - خوردگی و حفاظت مواد است که در سال ۱۳۸۸ در دانشکده فنی و مهندسی دانشگاه تربیت مدرس به راهنمایی جناب آقای دکتر تقی شهرابی فراهانی، مشاوره جناب آقای دکتر جابر نشاطی از آن دفاع شده است.

ماده ۳: به منظور جبران بخشی از هزینه های انتشارات دانشگاه، تعداد یک درصد شمارگان کتاب (در هر نوبت چاپ) را به "دفتر نشر آثار علمی" دانشگاه اهدا کند. دانشگاه می تواند مازاد نیاز خود را به نفع مرکز نشر در معرض فروش قرار دهد.

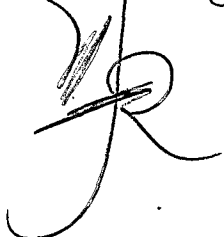
ماده ۴: در صورت عدم رعایت ماده ۳، ۵۰٪ بهای شمارگان چاپ شده زایه عنوان خسارت به دانشگاه تربیت مدرس، تأديه کند.

ماده ۵: دانشجو تعهد و قبول می کند در صورت خودداری از پرداخت بهای خسارت، دانشگاه می تواند خسارت مذکور را از طریق مراجع قضایی مطالبه و وصول کند؛ به علاوه به دانشگاه حق می دهد به منظور استیفاده حقوق خود، از طریق دادگاه، معادل وجه مذکور در ماده ۴ را از محل توقيف کتابهای عرضه شده نگارنده برای فروش، تامین نماید.

ماده ۶: اینجانب رضا کیارسی دانشجوی رشته مهندسی مواد - خوردگی و حفاظت مواد مقطع کارشناسی ارشد تعهد فوق وضمانت اجرایی آن را قبول کرده، به آن ملتزم می شویم.

نام و نام خانوادگی: رضا کیارسی

تاریخ و امضای: ۱۳۸۷/۲/۲۶



## دستورالعمل حق مالکیت مادی و معنوی در مورد نتایج پژوهش‌های علمی دانشگاه تربیت مدرس

مقدمه: با عنایت به سیاست‌های پژوهشی دانشگاه در راستای تحقق عدالت و کرامت انسان‌ها که لازمه شکوفایی علمی و فنی است و رعایت حقوق مادی و معنوی دانشگاه و پژوهشگران، لازم است اعضای هیات علمی، دانشجویان، دانش آموختگان و دیگر همکاران طرح، در مورد نتایج پژوهش‌های علمی که تحت عنوانین پایان‌نامه، رساله و طرح‌های تحقیقاتی که با هماهنگی دانشگاه انجام شده است، موارد ذیل را رعایت نمایند:

ماده ۱: حقوق مادی و معنوی پایان نامه‌ها/رساله‌های مصوب دانشگاه متعلق به دانشگاه است و هرگونه بهره‌برداری از آن باید با ذکر نام دانشگاه و رعایت آئین نامه‌ها و دستورالعمل‌های مصوب دانشگاه باشد.

ماده ۲: انتشار مقاله یا مقالات مستخرج از پایان نامه/رساله به صورت چاپ در نشریات علمی و یا ارائه در مجتمع علمی باید به نام دانشگاه بوده و استاد راهنما مسئول مکاتبات مقاله باشد.

تبصره: در مقالاتی که پس از دانش آموختگی بصورت ترکیبی از اطلاعات جدید و نتایج حاصل از پایان‌نامه/رساله نیز منتشر می‌شود نیز باید نام دانشگاه درج شود.

ماده ۳: انتشار کتاب حاصل از نتایج پایان نامه/رساله و تمامی طرح‌های تحقیقاتی دانشگاه باید با مجوز کتبی صادره از طریق حوزه پژوهشی دانشگاه و بر اساس آئین نامه‌های مصوب انجام می‌شود.

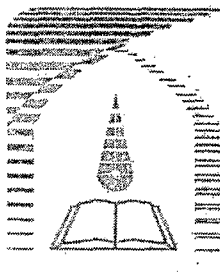
ماده ۴: ثبت اختراع و تدوین دانش فنی و یا ارائه در جشنواره‌های ملی، منطقه‌ای و بین‌المللی که حاصل نتایج مستخرج از پایان نامه/رساله و تمامی طرح‌های تحقیقاتی دانشگاه باید با هماهنگی استاد راهنما یا مجری طرح از طریق حوزه پژوهشی دانشگاه انجام گیرد.

ماده ۵: این دستورالعمل در ۵ ماده و یک تبصره در تاریخ ۱۳۸۴/۴/۲۵ در شورای پژوهشی دانشگاه به تصویب رسیده و از تاریخ تصویب لازم الاجرا است و هرگونه تخلف از مفاد این دستورالعمل، از طریق مراجع قانونی قابل پیگیری می‌شود.

نام و نام خانوادگی: رضا کیارسی

تاریخ و امضای:





دانشگاه تربیت مدرس

دانشکده فنی مهندسی

بررسی رفتار خوردگی فولاد کم آلیاژی در محیطهای حاوی دی اکسید کربن و  
در حضور اسید استیک

پایان نامه برای دریافت درجه کارشناسی ارشد  
در رشته مهندسی مواد گرایش خوردگی و حفاظت مواد

رضا کیارسی

استاد راهنما:

دکتر تقی شهرابی فراهانی

استاد مشاور:

دکتر جابر نشاطی

## تقدیم به پدر و مادر عزیزم!

به پاس تعبیر عظیم و انسانی شان از کلمه ایثار و از خودگذشتگی؛

به پاس عاطفه سرشار و گرمای امیدبخش وجودشان که در سردترین روزگاران بهترین  
پشتیبان است

به پاس قلب های بزرگشان که فریادرس است و سرگردانی و ترس در پناهشان به شجاعت  
می گراید

و به پاس محبت های بی دریغشان که هرگز فروکش نمی کند.

## تشکر و قدردانی:

وظیفه خود می‌دانم سپاسگزار تمام آنهاي باشم که در این دوره ارزشمند، بودنشان و اميدشان راهگشای من بود. استاد عزيز و گرانقدر بخش مهندسي مواد، بخصوص جناب آقای دکتر شهرابي فراهانی که همواره، همراه و پشتيبان بنته نه تنها در طول مدت انجام اين پيان نامه، بلکه در تمام دوره تحصيلم بوده‌اند و همچنين از جناب آقای دکتر نشاطي که سمت مشاوره پروژه اينجانب بر عهده ايشان بود، کمال تشکر را دارم و از راهنمایيهای به موقع و سودمند ايشان استفاده‌های زیادي کردم و به هنگام نياز برای حل مشكلات اينجانب از هیچ کمکی در يغ نورزیدند. برای ايشان آرزوی سلامتی، موفقیت و سر بلندی را دارم.

همچنين لازم از دوستان خود در آزمایشگاههای گروه خوردگی و حفاظت مواد بخصوص آقایان محمود علی‌اف خضرابي، صادق ميرزا محمدي، فرزاد کارگر، احسان صائب‌نوري، سيد احمد لاجوردی، بهزاد محمودي، حسين حسن‌نژاد، محمد خوشحال، صالح نوروزي و همچنين سرکار خاتم آمنه قاسمي صميمانه سپاسگزاری نمایم.

همچنين از ساير دوستان و آشنايان که به هر نحوی به من کمک کردند و من از ايشان در اينجا نامي نبرده‌ام عذرخواهی می‌کنم و کمال تشکر را از همه آن بزرگواران دارم.

## چکیده

دی اکسید کرین یکی از عمدترين عوامل خوردگی در صنایع نفت و گاز است و نزدیک به يك سوم خسارتهای مالی و جانی در کنار الودگیهای زیست محیطی را به خوردگی ناشی از دی اکسید کرین نسبت می دهد. نزدیک به نیم قرن است که تحقیقات بر جنبه های مختلف این نوع از خوردگی متمرکز شده است اما در این میان اسیداستیک کمتر مورد توجه قرار گرفته است. در این تحقیق سعی شده است تا به بررسی اثر اسیداستیک بر رفتار خوردگی فولاد کم الیاژی پرداخته شود. با استفاده از سل شیشه ای استاندارد به بررسی رفتار خوردگی فولاد کم الیاژی X70 در دما،  $pH$  و غلظتهاي مختلف اسیداستیک پرداخته شد و از محاسبات ترمودینامیکی و آزمونهای الکتروشیمیایی از جمله پلاریزاسیون خطی، تافلی و همچنین روش امپدانس الکتروشیمیایی استفاده شد. نتایج حاصل از محاسبات ترمودینامیکی نشان داد که تمامی واکنشهای کاتدی انجام پذیر هستند اما در رابطه با واکنشهای آندی تنها واکنش تشکیل لایه  $Fe(OH)_2$  محتمل است. دیده شد که در نمودار حاصل از آزمون پلاریزاسیون تافلی در محیطهای حاوی اسیداستیک نرخ واکنش کاتدی تسريع می شود و تحت کنترل انتقال جرم است ولی واکنش آندی در حضور اسیداستیک دچار کندی خواهد شد. با استفاده از روش امپدانس مشخص گردید که افزایش نرخ خوردگی به جذب اسیداستیک بر روی سطح مربوط می شود و تشکیل لایه های سطحی و بخصوص  $Fe(OH)_2$  در حضور اسیداستیک با مشکل مواجه خواهد شد. در تمامی غلظتها و همچنین دماهای ۲۵ و ۶۰ درجه سانتیگراد احیای اسیداستیک رخ می هد و این واکنش کنترل کننده جریان کاتدی در فرایند خوردگی است. بعلاوه آنکه اولین لایه که در محیط تشکیل می شود لایه  $Fe(OH)_2$  است.

واژه های کلیدی: خوردگی ناشی از دی اکسید کرین، اسیداستیک، فولاد کم الیاژی، روش پلاریزاسیون تافلی، روش امپدانس الکتروشیمیایی.

## فهرست مطالب

۱	فصل ۱: مقدمه
۲	۱-۱- مقدمه
۵	فصل ۲: مروری بر منابع
۶	۱-۲- مقدمه
۷	۲-۲- اصول خوردگی ناشی از دی اکسید کربن
۷	۱-۲-۱- اسید کربنیک و خوردگی ناشی از آن
۹	۲-۲-۲- مکانیزم های خوردگی ناشی از دی اکسید کربن
۹	۱-۲-۲-۲- مکانیزم دی وارد- میلیامز
۹	۲-۲-۲-۲- مکانیزم اشمعیت- روتمن
۱۰	۳-۲-۲-۲- مکانیزم ویکووسکی
۱۰	۴-۲-۲-۲- مکانیزم داوسون - زائویا
۱۰	۵-۲-۲-۲- مکانیزم نزیج
۱۱	۶-۲-۲-۲- مکانیزم دایلان
۱۲	۷-۲-۲-۲- مکانیزم پاتس
۱۲	۸-۲-۲-۲- مکانیزم هانگ
۱۴	۳-۲- عوامل موثر بر خوردگی ناشی از دی اکسید کربن
۱۴	۱-۳-۲- اثر فشار جزئی دی اکسید کربن
۱۵	۲-۳-۲- اثر دما
۱۶	۳-۳-۲- اثر $pH$
۱۶	۴-۳-۲- اثر تلاطم محلول
۱۷	۵-۳-۲- اثر فرق اشباع
۱۸	۶-۳-۲- اثر لایه های سطحی
۱۹	۷-۳-۲- اثر اسیداستیک
۲۹	۴-۲- نتیجه گیری
۳۰	فصل ۳: روش تحقیق
۳۱	۱-۳- مقدمه
۳۱	۲-۳- مواد مورد استفاده در آزمایشها
۳۱	۱-۲-۳- الکترود نمونه
۳۲	۲-۲-۳- محلول آزمایش
۳۳	۱-۲-۲-۳- دمای محلول آزمایش
۳۳	۲-۲-۲-۳- $pH$ محلول آزمایش
۳۳	۳-۲-۲-۳- سرعت محلول آزمایش
۳۳	۳-۳- روش های الکتروشیمیایی
۳۴	۳-۳-۱- روش پلاریزاسیون خطی

۳۴	روش پلاریزاسیون تافلی.....	۲-۳-۲
۳۴	روش امپدانس الکتروشیمیایی.....	۳-۲-۳

۳۶	فصل ۴: نتایج و تفسیر آنها	
۳۷	۱- مقدمه .....	۴
۳۷	۲- نتایج حاصل از آزمونهای انجام شده در $pH = 3$ و مدت زمان دو ساعت.....	۴
۴-۳	بررسی اثر اسیداستیک بر رفتار الکتروشیمیایی فولاد کم آلیاژی در محلول هوازدایی شده توسط نیتروژن (غلظتهاي صفر و $100 ppm$ اسیداستیک، مدت انجام آزمایش ۲۴ ساعت، دما $60$ درجه سانتی گراد، سرعت چرخش $2000 rpm$ و $pH = 4$ ).....	۴
۴-۴	بررسی اثر دی اکسیدکربن بر رفتار الکتروشیمیایی فولاد کم آلیاژی در محلول اشباع از دی اکسیدکربن در مقایسه با محلول هوازدایی شده توسط نیتروژن (مدت انجام آزمایش ۲۴ ساعت، دما $60$ درجه سانتی گراد، سرعت چرخش $2000 ppm$ و $pH = 4$ ).....	۴
۴-۵	بررسی اثر اسیداستیک بر رفتار الکتروشیمیایی فولاد کم آلیاژی در محلول اشباع از دی اکسیدکربن در دمای $60$ درجه سانتی گراد و سرعت چرخش $1000 rpm$ (غلظتهاي صفر و $500 ppm$ اسیداستیک).....	۴
۴-۶	بررسی اثر غلظت اسیداستیک بر رفتار الکتروشیمیایی فولاد کم آلیاژی در محلول اشباع از دی اکسیدکربن در دمای $20$ درجه سانتی گراد و شرایط ساکن (غلظتهاي صفر تا $500 ppm$ اسیداستیک).....	۴

۸۸	فصل ۵: جمع بندی و پیشنهادها	
۸۹	۱- نتیجه گیری .....	۵
۹۰	۲- پیشنهادها .....	۵

مراجع

## فهرست اشکال

شکل (۱-۲) انتقال جرم پروتون و اسیدکربنیک از میان لایه مرزی به عنوان مرحله کنترل کننده سرعت خوردگی.....	۱۲
شکل (۲-۲) اثر فشار جرثی دی اکسیدکربن بر نرخ خوردگی.....	۱۵
شکل (۳-۲) منحنیهای پلاریزاسیون فولاد N80 در محیط دی اکسیدکربن یک درصد وزنی در غلظتهاي مختلف اسیداستیك.....	۲۶
شکل (۴-۲) منحنیهای امپدانس فولاد N80 در محیط دی اکسیدکربن یک درصد وزنی در غلظتهاي مختلف اسیداستیك.....	۲۷
شکل (۵-۲) منحنیهای پلاریزاسیون فولاد X65 در محیط دی اکسیدکربن ۳ درصد وزنی در سرعت $3000\text{ rpm}$ و غلظتهاي مختلف اسیداستیك.....	۲۸
شکل (۶-۲) منحنیهای امپدانس فولاد X65 در محیط دی اکسیدکربن ۳ درصد وزنی و غلظتهاي مختلف اسیداستیك (الف) ساکن ب) سرعت $3000\text{ rpm}$ .....	۲۹
شکل (۶-۴) نمودارهای پلاریزاسیون تافلی فولاد کم آلیاژی در محیطهاي اشباع از آرگون و دی اکسیدکربن در شرایط ساکن، دمای محیط و $pH = ۳$ .....	۳۸
شکل (۷-۲) نمودارهای پلاریزاسیون تافلی فولاد کم آلیاژی در محیط اشباع از دی اکسیدکربن و غلظتهاي $۱۰\text{ ppm}$ اسیداستیك در شرایط ساکن، دمای محیط و $pH = ۳$ .....	۴۸
شکل (۷-۳) نمودار نایکوئیست فولاد کم آلیاژی در محیط هوازدایی شده با آرگون، $pH = ۳$ ، مدت زمان ۲ ساعت و شرایط ساکن.....	۴۹
شکل (۷-۴) نمودار بد(فرکانس - زاویه فاز) فولاد کم آلیاژی در محیط هوازدایی شده با آرگون، $pH = ۳$ ، مدت زمان ۲ ساعت و شرایط ساکن.....	۴۹
شکل (۸-۴) مدار معادل استفاده شده جهت شبیه‌سازی فرایند در محیط هوازدایی شده آرگون، $pH = ۳$ ، مدت زمان ۲ ساعت	۵۰
شکل (۸-۴) نمودارهای امپدانس در محیط هوازدایی شده با آرگون. (الف) نایکوئیست ب) بد(فرکانس - زاویه فاز).....	۵۱
شکل (۸-۷) نمودار نایکوئیست بدست آمده در محیط اشباع از دی اکسیدکربن، به همراه نتایج حاصل از شبیه سازی آن در $pH = ۳$ ، مدت زمان ۲ ساعت، شرایط ساکن و دمای ۲۵ درجه سانتي گراد.....	۵۲
شکل (۸-۴) نمودارهای امپدانس در محلول اشباع از دی اکسیدکربن، $pH = ۳$ مدت زمان ۲ ساعت، شرایط ساکن و دمای ۲۵ درجه سانتي گراد. (الف) بد امپدانس ب) بد زاویه فاز.....	۵۳
شکل (۹-۴) نمودارهای حاصل از اندازه‌گیری امپدانس در محلول اشباع از دی اکسیدکربن و در غلظتهاي $۵۰\text{ ppm}$ اسیداستیك در $pH = ۳$ ، مدت زمان ۲ ساعت، شرایط ساکن و دمای ۲۵ درجه سانتي گراد.....	۵۴
شکل (۱۰-۴) مدار معادل استفاده شده جهت ارائه نتایج در غلظت $۵۰\text{ ppm}$ اسیداستیك، $pH = ۳$ ، مدت زمان ۲ ساعت.....	۵۶
شکل (۱۱-۴) نمودارهای بد زاویه فاز حاصل از اندازه‌گیری امپدانس در محلول اشباع از دی اکسیدکربن و در غلظت $۵۰\text{ ppm}$ در $pH = ۳$ ، مدت زمان ۲ ساعت، شرایط ساکن و دمای ۲۵ درجه سانتي گراد.....	۵۷
شکل (۱۲-۴) نمودارهای حاصل از اندازه‌گیری امپدانس در محلول اشباع از دی اکسیدکربن در $500\text{ ppm}$ اسیداستیك، $pH = ۳$ ، مدت زمان ۲ ساعت، شرایط ساکن و دمای ۲۵ درجه سانتي گراد.....	۵۸
شکل (۱۳-۴) مدار معادل جهت ارائه نتایج در غلظت $500\text{ ppm}$ و $200\text{ ppm}$ اسیداستیك، $pH = ۳$ ، مدت زمان ۲ ساعت.....	۶۰
شکل (۱۴-۴) نتایج حاصل از آزمون پلاریزاسیون خطی فولاد X70 در محلول هوازدایی شده توسط نیتروژن (غلظتهاي صفر و $100\text{ ppm}$ اسیداستیك، مدت انجام آزمایش ۲۴ ساعت، دما ۶۰ درجه سانتي گراد، سرعت چرخش $2000\text{ rpm}$ و $pH = ۴$ ).....	۶۲

- شکل (۱۵-۴) نمودار پلاریزاسیون تافلی در محلول نیتروژن (غلظت‌های صفر و  $100\text{ ppm}$  اسیداستیک، زمان ۲۴ ساعت،  $C = 4$  درجه سانتی‌گراد، سرعت چرخش  $2000\text{ rpm}$  و  $pH = 4$ ) ..... ۶۳
- شکل (۱۶-۴) نمودارهای نایکوئیست حاصل از اندازه‌گیری امپدانس در محیط نیتروژن خالص (مدت انجام آزمایش ۲۴ ساعت، دما  $60$  درجه سانتی‌گراد، سرعت چرخش  $2000\text{ rpm}$  و  $pH = 4$ ) ..... ۶۵
- شکل (۱۷-۴) نمودارهای بد زاویه فاز حاصل از اندازه‌گیری امپدانس در محیط نیتروژن خالص مدت انجام آزمایش ۲۴ ساعت، دما  $60$  درجه سانتی‌گراد، سرعت چرخش  $2000\text{ rpm}$  و  $pH = 4$ ) ..... ۶۵
- شکل (۱۸-۴) نمودار نایکوئیست حاصل از اندازه‌گیری امپدانس در محیط نیتروژن حاوی  $100\text{ ppm}$  اسیداستیک، ساعت صفر آزمایش، دما  $60$  درجه سانتی‌گراد، سرعت چرخش  $2000\text{ rpm}$  و  $pH = 4$ ) ..... ۶۷
- شکل (۱۹-۴) نمودارهای نایکوئیست حاصل از اندازه‌گیری امپدانس در محیط نیتروژن حاوی  $100\text{ ppm}$  اسیداستیک، ساعتهای ششم تا چهاردهم آزمایش، دما  $60$  درجه سانتی‌گراد، سرعت چرخش  $2000\text{ rpm}$  و  $pH = 4$ ) ..... ۶۸
- شکل (۲۰-۴) نمودارهای نایکوئیست حاصل از اندازه‌گیری امپدانس در محیط نیتروژن حاوی  $100\text{ ppm}$  اسیداستیک، ساعتهای شانزدهم تا بیست و دوم آزمایش، دما  $60$  درجه سانتی‌گراد، سرعت چرخش  $2000\text{ rpm}$  و  $pH = 4$ ) ..... ۶۸
- شکل (۲۱-۴) روند تغییرات مقاومت پلاریزاسیون در محلول نیتروژن خالص و حاوی  $100\text{ ppm}$  اسیداستیک با گذشت زمان ..... ۷۰
- شکل (۲۲-۴) روند تغییرات ضخامت لایه دوگانه الکتریکی در محلول نیتروژن خالص و حاوی  $100\text{ ppm}$  اسیداستیک با گذشت زمان ..... ۷۰
- شکل (۲۳-۴) نتایج حاصل از آزمون پلاریزاسیون خطی فولاد  $X70$  در محلولهای هوازدایی شده توسط نیتروژن و دی-اکسیدکربن (مدت انجام آزمایش ۲۴ ساعت، دما  $60$  درجه سانتی‌گراد، سرعت چرخش  $2000\text{ rpm}$  و  $pH = 4$ ) ..... ۷۱
- شکل (۲۴-۴) نمودار پلاریزاسیون تافلی در محیط‌های هوازدایی شده نیتروژن و اشباع از دی-اکسیدکربن (مدت زمان ۲۴ ساعت،  $C = 60$  و  $pH = 4$ ) ..... ۷۱
- شکل (۲۵-۴) نرخ خوردگی فولاد کم الیاژی در محلول اشباع از دی-اکسیدکربن در دمای  $60$  درجه سانتی‌گراد و سرعت چرخش  $1000\text{ rpm}$  (غلظت‌های صفر و  $1000\text{ ppm}$  اسیداستیک) ..... ۷۵
- شکل (۲۶-۴) نمودارهای حاصل از پلاریزاسیون تافلی در محلول اشباع از دی-اکسیدکربن در دمای  $60$  درجه سانتی‌گراد و سرعت چرخش  $1000\text{ rpm}$  (غلظت‌های صفر و  $1000\text{ ppm}$  اسیداستیک) ..... ۷۵
- شکل (۲۷-۴) روند تغییر پتانسیل واکنشهای کاتدی خوردگی با زمان در محیط محيط اشباع دی-اکسیدکربن حاوی  $500\text{ ppm}$  اسیداستیک ..... ۷۷
- شکل (۲۸-۴) منحنی‌های نایکوئیست حاصل از اندازه‌گیری امپدانس در محلول دی-اکسیدکربن در دمای  $60$  درجه سانتی‌گراد و سرعت چرخش  $1000\text{ rpm}$  ..... ۷۷
- شکل (۲۹-۴) منحنی‌های بدفاز حاصل از اندازه‌گیری امپدانس در محلول دی-اکسیدکربن در دمای  $60$  درجه سانتی‌گراد و سرعت چرخش  $1000\text{ rpm}$  ..... ۷۸
- شکل (۳۰-۴) مدار معادل استفاده شده جهت شبیه‌سازی فرایند در در محلول دی-اکسیدکربن در دمای  $60$  درجه سانتی‌گراد و سرعت چرخش  $1000\text{ rpm}$  ..... ۷۸
- شکل (۳۱-۴) مدار معادل استفاده شده جهت شبیه‌سازی فرایند در در محلول دی-اکسیدکربن در دمای  $60$  درجه سانتی‌گراد و سرعت چرخش  $1000\text{ rpm}$  ..... ۷۸

شکل (۴-۳۲) مدار معادل استفاده شده جهت شبیه‌سازی فرایند در در محلول دی‌اکسیدکربن در دمای ۶۰ درجه سانتی‌گراد و سرعت چرخش $1000\text{ rpm}$	۷۹
شکل (۴-۳۳) مدار معادل استفاده شده جهت شبیه‌سازی فرایند در محلول $500\text{ ppm}$ اسیداستیک در دمای ۶۰ درجه سانتی‌گراد و سرعت چرخش $1000\text{ rpm}$	۷۹
شکل (۴-۳۴) نمودارهای پلاریزاسیون تافلی فولاد کم الیازی در محیط دی‌اکسیدکربن خالص و همچنین غلظتهاي صفر تا $500\text{ ppm}$ اسیداستیک در دمای ۲۰ درجه سانتی‌گراد و شرایط ساكن	۸۳
شکل (۴-۳۵) منحنی‌های نایکوئیست حاصل از اندازه‌گیری امپدانس در محلول دی‌اکسیدکربن خالص و همچنین غلظتهاي مختلف اسیداستیک در دمای ۲۰ درجه سانتی‌گراد و شرایط ساكن	۸۵
شکل (۴-۳۶) منحنی‌های بد فاز حاصل از اندازه‌گیری امپدانس در محلول دی‌اکسیدکربن خالص و همچنین غلظتهاي مختلف اسیداستیک در دمای ۲۰ درجه سانتی‌گراد و شرایط ساكن	۸۵
شکل (۴-۳۷) مدار معادل استفاده شده جهت ارائه نتایج در محلول دی‌اکسیدکربن خالص و همچنین غلظتهاي مختلف اسیداستیک در دمای ۲۰ درجه سانتی‌گراد و شرایط ساكن	۸۶
شکل (۴-۳۸) روند تغییرات ضخامت لایه دوغانه با افزایش مدت زمان آزمایش در محلول دی‌اکسیدکربن خالص و غلظتهاي مختلف اسیداستیک در دمای ۲۰ درجه سانتی‌گراد و شرایط ساكن	۸۶
شکل (۴-۳۹) روند تغییرات مقاومت پلاریزاسیون با افزایش مدت زمان آزمایش در محلول دی‌اکسیدکربن خالص و غلظتهاي مختلف اسیداستیک در دمای ۲۰ درجه سانتی‌گراد و شرایط ساكن	۸۶

## فهرست جداول

جدول (۱-۱) خواص فیزیکی و شیمیایی اسیداستیک	۴
جدول (۱-۲) حلایت دی اکسیدکربن و اکسیژن در $p_{CO_2}$ برابر با $760 \text{ mmHg}$	۷
جدول (۱-۳) ترکیب شیمیایی فولاد کم الیاژی مورد استفاده در آزمایشها	۳۱
جدول (۲-۳) مقدار اسیداستیک اختفایشده به سل آزمایش و غلظت آن در محلول آزمایش	۳۳
جدول (۳-۳) مشخصات کلی آزمایشها الکتروشیمیایی	۳۵
جدول (۴-۱) پارامترهای الکتروشیمیایی حاصل از پلاریزاسیون تافلی در محیط‌های هوازدایی شده توسط آرگون، اشباع از دی-اکسیدکربن و غلظتها مختلف اسیداستیک	۴۱
جدول (۴-۲) فرمول محاسبه ثوابت تعادلی واکنشها	۴۲
جدول (۴-۳) انرژی آزاد گیس اجزای مختلف	۴۳
جدول (۴-۴) غلظت یون استات در غلظتها مختلف اسیداستیک	۴۰
جدول (۴-۵) پتانسیل استاندارد واکنشهای آندی	۴۷
جدول (۴-۶) پتانسیل واکنش $Fe = Fe^{2+} + 2e^-$ در غلظتها م مختلف اسیداستیک	۴۷
جدول (۴-۷) پتانسیل واکنشهای آندی در حضور اسیداستیک	۴۸
جدول (۸-۱) پارامترهای مدار در محیط هوازدایی شده با آرگون، $pH=3$ مدت زمان ۲ ساعت	۵۱
جدول (۹-۴) مقدار ظرفیت خازنی حاصل از رابطه برآگ در محیط هوازدایی شده با آرگون، $pH=3$ ، مدت زمان ۲ ساعت	۵۲
جدول (۱۰-۴) پارامترهای حاصل از شبیه‌سازی در محلول اشباع از دی-اکسیدکربن، $pH=3$ ، مدت زمان ۲ ساعت	۵۴
جدول (۱۱-۴) پارامترهای حاصل از شبیه سازی در غلظت $ppm = 10$	۵۶
جدول (۱۲-۴) پارامترهای حاصل از شبیه سازی در غلظت $ppm = 50$	۵۷
جدول (۱۳-۴) پارامترهای حاصل از شبیه سازی در غلظت $ppm = 50$ اسیداستیک در ساعتهاي صفر تا دوم آزمایش	۵۸
جدول (۱۴-۴) پارامترهای حاصل از شبیه سازی در غلظت $ppm = 500$ و $2000$	۶۰
جدول (۱۵-۴) پارامترهای الکتروشیمیایی حاصل از نمودار پلاریزاسیون تافلی در محلول نیتروژن (غلظتهاي صفر و $100 ppm$ اسیداستیک، زمان $24$ ساعت، $T = 60^\circ C$ و $pH = 4$ )	۶۲
جدول (۱۶-۴) پارامترهای مدار در محیط نیتروژن خالص (مدت انجام آزمایش $24$ ساعت، دما $60^\circ C$ درجه سانتی گراد، سرعت چرخش $2000 rpm$ و $pH = 4$ )	۶۶
جدول (۱۷-۴) پارامترهای حاصل از شبیه سازی در محیط نیتروژن حاوی $100 ppm$ اسیداستیک، ساعت صفر آزمایش، دما $60^\circ C$ درجه سانتی گراد، سرعت چرخش $2000 rpm$ و $pH = 4$	۶۸
جدول (۱۸-۴) پارامترهای حاصل از شبیه سازی در محیط نیتروژن حاوی $100 ppm$ اسیداستیک، ساعتهاي ششم تا چهاردهم آزمایش ، دما $60^\circ C$ درجه سانتی گراد، سرعت چرخش $2000 rpm$ و $pH = 4$	۶۹
جدول (۱۹-۴) پارامترهای حاصل از شبیه سازی در محیط نیتروژن حاوی $100 ppm$ اسیداستیک، ساعتهاي شانزدهم تا بیست و دوم آزمایش ، دما $60^\circ C$ درجه سانتی گراد، سرعت چرخش $2000 rpm$ و $pH = 4$	۷۰
جدول (۲۰-۴) پارامترهای الکتروشیمیایی حاصل از نمودار پلاریزاسیون تافلی در محلول اشباع از دی-اکسیدکربن و محلول هوازدایی شده با نیتروژن (زمان $24$ ساعت، $T = 60^\circ C$ و $pH = 4$ )	۷۲

جدول (۲۱-۴) پارامترهای الکتروشیمیایی حاصل از نمودار پلاریزاسیون تافلی در محلول اشباع از دیاکسیدکربن (غلظتهای صفر و $500 \text{ ppm}$ اسیداستیک، زمان $24$ ساعت، $10^\circ\text{C}$ ، سرعت چرخش $1000 \text{ rpm}$ )	۷۶
جدول (۲۲-۴) نتایج حاصل از شبیه سازی در در محلول دیاکسیدکربن در دمای $60$ درجه سانتی گراد و سرعت چرخش $80 \text{ rpm}$	
جدول (۲۳-۴) نتایج حاصل از شبیه سازی در در محلول $500 \text{ ppm}$ اسیداستیک در دمای $60$ درجه سانتی گراد و سرعت چرخش $1000 \text{ rpm}$	
جدول (۲۴-۴) یونهای موجود در محلول به همراه ضریب نفوذ آنها	۸۱
جدول (۲۵-۴) پارامترهای الکتروشیمیایی حاصل از نمودارهای پلاریزاسیون تافلی فولاد کم الیاژی در محیط دیاکسیدکربن خالص و همچنین غلظتهای صفر تا $500 \text{ ppm}$ اسیداستیک در دمای $20$ درجه سانتی گراد و شرایط ساکن	۸۴

فصل ۱:

# مقدمه

## ۱-۱- مقدمه

خوردگی ناشی از دی اکسیدکربن در حضور اسیداستیک به عنوان عامل اصلی در تخریب زودرس خطوط لوله ساخته شده از فولاد ساده کربنی شناخته می شود. از آنجا که دی اکسیدکربن گازی اسیدی است، در حضور آب اسیدکربنیک تولید خواهد کرد. نمک موجود در سازندهای نفتی عمدتاً کلریدسدیم می باشد، اما حاوی یونهای دیگری از جمله پتاسیم، کلسیم، منیزیم، سولفات و همچنین اسیدهای آلی که شایعترین آنها اسیداستیک است، نیز می باشد. تخریبهای زودرس و شکستهای ناگهانی علاوه بر میلیونها دلار خسارت مالی، شامل خسارات جانی و همچنین آلدگیهای زیستمحیطی نیز می باشند [۱]. از میان هزاران ماده مهندسی موجود، فولاد ساده کربنی یا کم آبیاری معمولاً به دلایلی از جمله دسترسی آسان در اغلب کشورها، جوش پذیری خوب، خواص مکانیکی مطلوب و قیمت تمام شده به مراتب کمتر آن نسبت به آلیاژهای مقاوم به خوردگی (فاکتوری بسیار مهم) گزینه‌ای است که برای خطوط انتقال گاز و نفت مورد استفاده قرار می گیرد. از آنجا که فولاد کم آبیاری تمایل زیادی به خوردگی در محیطهای حاوی دی اکسیدکربن و اسیدهای آلی از جمله اسیداستیک دارد، ضروری است تا شرایطی که در آن اسیداستیک منجر به خوردگی می شود، بیشتر مورد بررسی قرار گیرد. اسیداستیک شایعترین اسید آلی در نمکهای مناطق نفتخیز است. در جدول (۱-۱) خواص فیزیکی و شیمیایی اسیداستیک خالص نشان شده است. ترکیب شیمیایی آب سازند، خوردگی را با تحت تاثیر قرار دادن شرایط ترمودینامیکی و سیستیکی واکنشهای حاکم بر آن کترل می کند، تحقیقات اولیه که آغاز آنها به سال ۱۹۵۰ میلادی باز می گردد، شامل در معرض محلول قراردادن نمونه‌های پولیش شده در مدت زمانهای کوتاه بود که نتایج این آزمایشها، تفاوت‌های چندانی ما بین خوردگی ناشی از دی اکسیدکربن در شرایط حضور و عدم حضور اسیداستیک نشان ندادند. بدین ترتیب بود که برای مدت زمانی طولانی اثر اسیدهای آلی بر خوردگی ناشی از دی اکسیدکربن به دست فراموشی سپرده شده بود. از آن زمان تا کنون، تحقیقات فراوانی جهت بررسی اثر اسیداستیک در شرایط آزمایشگاهی و میدانی انجام گرفته است تا مشخص شود که اسیداستیک در محیطهای دی اکسیدکربن چه نقشی خواهد داشت؟ با انجام آزمایشها مشخص شده است عامل اصلی در افزایش نرخ خوردگی، اسیداستیک تجزیه نشده است و نه غلظت کل اسیداستیک که به سیستم افزوده می شود. وجود اسیدهای آلی، اولین بار در سال ۱۹۴۴ میلادی کشف شد، اما در آن زمان

ubarati az jمله اسیدهای آلی تجزیه نشده و یا تا حدودی تجزیه شده معنای چندانی نداشتند زیرا آنالیزهای اولیه بر اساس وزن مولکولی، امکان و اجازه تمایز اسیدهای آلی از جمله اسیداستیک، اسیدپروپونیک، اسیدبوتیریک و غیره را میسر نمی ساخت. امروزه، مفهوم وجود چنین ترکیباتی، چه به صورت تجزیه شده و چه به صورت تجزیه نشده بهتر درک شده است. گرچه، آنالیز نمکهای مناطق نفتخیز جهت شناسایی آنونها و کاتیونها، خصوصاً بیکریاتها در حضور استانها، کماکان برای آزمایشگاهها با مشکلاتی همراه است[۲]. به علاوه، با افزایش تحقیقات زمین شناسی که منجر به کشف ذخایر نفتی فراساحلی شده است، شرکتهای نفتی تمایل دارند با استفاده از اتصال چندین خط لوله به یک خط لوله اصلی، مواد استخراج شده از سازندهای هیدروکربنی را به پالایشگاهها و واحدهای تفکیک و جداسازی برسانند. در این شرایط، خط لوله مزبور تحت تاثیر سیال چندفارزی و محیطهای با پتانسیلهای خورندگی مختلف قرار می گیرد و در مسیری که سیال تا پالایشگاه پشت سر می گذارد، خط لوله انتقال سیال، با مکانیزمها و سرعتهای متفاوتی از خوردگی روی رو خواهد شد. در خلال تولید اولیه از یک چاه معمولاً مخلوطی چندفارزی که شامل یک فاز نفتی و یک فاز گازی حاوی هیدروکربنهای طبیعی و نیتروژن است، بدست خواهد آمد. علاوه بر آن نمکهایی با غلظتها کم نیز وجود دارند که رفته رفته و با افزایش عمر چاه بر غلظت آنها افزوده خواهد شد. در فاز نفتی بالا آمده از درون چاه مخلوطی از ترکیبات آلی از جمله پارافینها، واکسها و اسیدهای آلی نیز به چشم خواهند خورد. در دو دهه اخیر، تحقیقات در صنایع نفت و گاز بر روی خوردگی ناشی از دی اکسیدکرین معروف به «خوردگی شیرین»<sup>۱</sup> با تکیه بر اثر عوامل مختلفی از جمله فشار جزئی دی اکسیدکرین، دما، pH و شرایط هیدرودینامیکی سیستم معطوف شده است که در این میان فشار جزئی دی اکسیدکرین یکی از مهمترین پارامترها در میزان خورندگی محیط به شمار می رود. اما رابطه ای که به درستی به تخمین خوردگی بر حسب فشار جزئی دی اکسیدکرین بپردازد، وجود ندارد. بر اساس مشاهدات میدانی دریافتهد که سیالات غنی از دی اکسیدکرین با فشار جزئی دی اکسیدکرین در حدود ۵ الی ۱۰ بار، صرف نظر از غلظت اسیداستیک همیشه خورندگی باشند. اما در فشار جزئی پایین تر در زمانی که در حدود ۶ ppm تا ۶۰ ppm اسیداستیک موجود باشد، نرخ خوردگی قابل ملاحظه ای مشاهده می شود که همین مطلب از دلایل بررسی اثر اسیداستیک در تحقیق حاضر است. در تحقیق حاضر سعی شده است با استفاده از روشهای الکتروشیمیایی از جمله روش امپدانس الکتروشیمیایی، پلاریزاسیون خطی و پلاریزاسیون تافلی به ارزیابی وقتار فولاد کم آلیاژی در محیطهای دی اکسیدکرین خالص و

<sup>۱</sup> Sweet Corrosion

همچنین حاوی اسیداستیک پرداخته شود که با توجه به تحقیقات انجام شده بر روی خوردگی ناشی از دی-اکسیدکرین در حضور اسیداستیک که در فصل دوم تحت عنوان مروری بر منابع آورده شده است، استفاده از روش امپدانس الکتروشیمیایی در زمینه خوردگی ناشی از دی-اکسیدکرین کمتر مورد استفاده قرار گرفته است. آزمایشها در سل شیشه‌ای استاندارد و با استفاده از الکترود چرخان انجام شدند و متغیرهایی از جمله دما، غلظت اسیداستیک و سرعت محلول مورد مطالعه قرار گرفتند. در فصل دوم به ارائه تحقیقات گذشته در زمینه خوردگی ناشی از دی-اکسیدکرین و همچنین در حضور اسیداستیک اشاره شده است. در فصل سوم به جزئیات مواد، تجهیزات و روش انجام آزمایشها پرداخته شده است و فصل چهارم به نتایج حاصل و تحلیل آنها اختصاص یافته است. در پایان نیز نتیجه‌گیری کلی و پیشنهادات ارائه شده‌اند.

جدول (۱-۱) خواص فیزیکی و شیمیایی اسیداستیک [۲]

نامهای رایج	
شناسه بر اساس CAS	۶۴-۱۹-۷
وزن مولکولی	۶۰/۰۵
فرمول شیمیایی	$CH_3COOH$
نمای ظاهري	شفاف، بیرنگ
رایحه متصاعد شده	شبیه به سرکه غلیظ
حلالت	کامل
pH ( محلول ۱ مولار)	۲/۴
دمای تبخیر	۱۱۸ °C
چگالی بخار در فشار ۱ bar و دمای ۱۱۸ °C	۱/۸۷ gr/cc
دمای خود اشتغالی	۴۲۷ °C
حد مجاز موجود در هوا	۱۰ ppm
فشار بخار (در ۲۰ °C ۲۰ سانتی گراد)	۱/۵ KPa
چگالی بخار نسبی (نسبت به هوا=۱)	۲/۱
چگالی (نسبت به آب=۱)	۱/۰۵ (gr/cc)